

## МИКРОПЛАЗМЫ В ИДЕАЛЬНО ОДНОРОДНЫХ $p-i-n$ -СТРУКТУРАХ

Гафийчук В. В., Дацко Б. И., Кернер Б. С., Осипов В. В.

Установлено, что микроплазмы — локальные (размером порядка 1 мкм) области сильной ударной ионизации могут возникать в идеально однородных по площади  $p-n$ -переходах. Микроплазма является ярким примером узкого пичкового автосолитона гигантской амплитуды, который можно возбудить при относительно малом коэффициенте размножения носителей ( $M \sim 10^2 \div 10^3$ ) с помощью кратковременного освещения локальной области в плоскости  $p-n$ -перехода импульсом света, поглощение которого приводит к фотогенерации электронно-дырочных пар в области пространственного заряда структуры. С помощью численных экспериментов установлено, что после выключения импульса света в  $p-i-n$ -структуре самопроизвольно формируется устойчивая микроплазма, коэффициент умножения носителей  $M$  в которой в  $10^5 \div 10^6$  раз может превышать значение  $M$  при однородном пробое (вне микроплазмы). Численно изучены кинетика возникновения микроплазмы, их форма, а также зависимости размера и амплитуды тока в микроплазме от падения напряжения на структуре.

Из эксперимента давно известно, что в обратно смещенных  $p-n$ -переходах достаточно большой площади наблюдаются микроплазмы в виде ярко светящихся точек размеры порядка 1 мкм [1]. Микроплазмы возникают в  $p-n$ -переходах на начальном участке лавинного пробоя, когда среднее значение коэффициента лавинного умножения носителей  $M$  не превышает  $10^2 \div 10^3$ . Микроплазмы представляют собой локальные области, в которых величина  $M$  на много порядков превосходит свое среднее значение. Принято считать, что микроплазмы связаны с наличием неоднородностей в области пространственного заряда (ОПЗ)  $p-n$ -перехода, которые создают сильное электрическое поле в локальных областях  $p-n$ -перехода [2]. В данной работе показано, что микроплазмы в виде локальных областей сильной ударной ионизации могут возникать и в идеально однородных  $p-n$ -переходах, точнее, в отсутствие каких-либо неоднородностей.

### 1. Физика образования микроплазм

Для простоты рассмотрим  $p-i-n$ -структуру (рис. 1, a) с сильно легированными  $p$ - и  $n$ -областями и высокоомной нелегированной  $i$ -областью толщиной  $w$ . Благодаря малости концентрации свободных носителей в  $i$ -области до возникновения пробоя электрическое поле  $E = E_i$  в  $i$ -области практически постоянно и равно  $E_i = V_i/w$  (рис. 1, б), где  $V_i$  — падение напряжения на ОПЗ структуры. С увеличением напряжения  $V_i$  растут значения электрического поля  $E$  и коэффициента умножения носителей  $M$ . Вследствие роста  $M$  увеличиваются концентрации электронов ( $n$ ) и дырок ( $p$ ) в ОПЗ. При этом в соответствии с уравнением Пуассона

$$\frac{dE}{dz} = \frac{\rho}{\epsilon_s \epsilon_0} = \frac{e(p-n)}{\epsilon_s \epsilon_0} \quad (1)$$

распределение поля в ОПЗ вдоль оси  $z$  (рис. 1) с ростом тока качественно изменяется [в (1)  $\epsilon_s$  — диэлектрическая проницаемость полупроводника,  $\epsilon_0$  — диэлектрическая постоянная]. Действительно, при малых токах, когда  $E = E_i = \text{const}$  (рис. 1, б), электроны и дырки равномерно размножаются по всей толщине ОПЗ ( $0 < z < w$ , рис. 1). С ростом тока за счет того, что электроны в ОПЗ движутся к  $n$ -области, а дырки к  $p$ -области, концентрация электронов оказывает

ется максимальной вблизи  $n$ -области, а дырок — вблизи  $p$ -области (рис. 1,  $\varepsilon$ ). Как следствие этого, величина плотности свободного заряда  $\rho$  меняет свой знак в середине ОПЗ  $p-i-n$ -структуры. При этом в соответствии с (1) в распределении поля в середине  $i$ -области появляется минимум, а на границах ОПЗ — максимум  $E_{\max}$  (рис. 1,  $\varepsilon$ ). Иными словами, с ростом тока образующийся благодаря ударной ионизации заряд подвижных носителей меняет распределение электрического поля  $E(z)$  в ОПЗ так, что оно уменьшается в центре ОПЗ и все более возрастает на границах области. Вследствие резко возрастающей зависимости коэффициентов ударной ионизации носителей от электрического поля  $\alpha(E)$  такое перераспределение поля с ростом заряда подвижных носителей вызывает

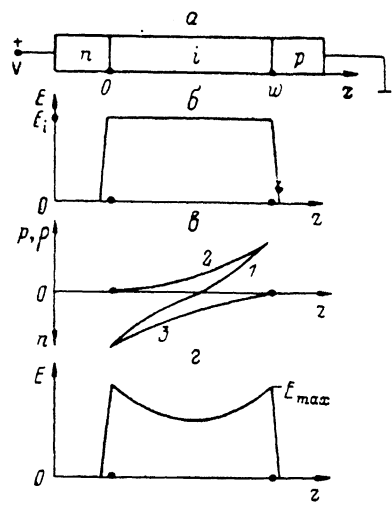


Рис. 1. Механизм возникновения возрастающей зависимости коэффициента умножения носителей  $M$  в  $p-i-n$ -структуре (а) от концентрации свободных носителей в  $i$ -области [3].  
б — распределение поля в ОПЗ  $p-i-n$ -структуры в отсутствие заряда свободных носителей; в, г — качественный характер распределения  $\rho(z)$  (1),  $p(z)$  (2),  $n(z)$  (3) и соответствующего распределения поля в ОПЗ  $p-i-n$ -структуре.

б — распределение поля в ОПЗ  $p-i-n$ -структуры в отсутствие заряда свободных носителей; в, г — качественный характер распределения  $\rho(z)$  (1),  $p(z)$  (2),  $n(z)$  (3) и соответствующего распределения поля в ОПЗ  $p-i-n$ -структуре.

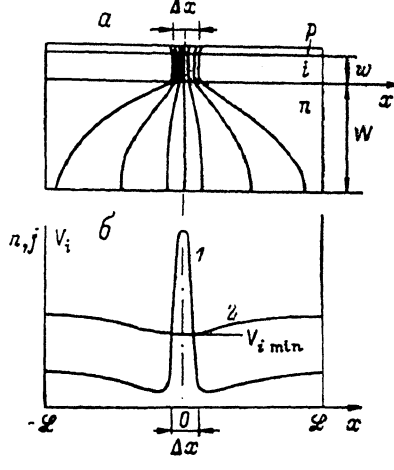


Рис. 2. Физика возникновения микроплазм в идеально однородных по площади  $p-i-n$ -структурах.

а — линии тока в ОПЗ и в квазинейтральной «толстой» и «высокоомной»  $n$ -областях  $p-i-n$ -структур при наличии в точке  $x=0$  микроплазмы размером  $\Delta x$ ; б — качественный вид плотности тока  $j(x)$ , т. е. концентрации носителей  $n(x)$  (1), и падения напряжения  $V_i$  на ОПЗ  $p-i-n$ -структуре (2) в микроплазме.

увеличение коэффициента умножения носителей  $M$ , а следовательно, и концентраций  $n$  и  $p$  в ОПЗ. Это в свою очередь приводит к еще большему искажению поля, т. е. возрастанию величины  $E_{\max}$  (рис. 1,  $\varepsilon$ ) и к дальнейшему росту  $M$ . Рассмотренный механизм зависимости  $M$  от величины тока, точнее, от концентрации неравновесных электронов и дырок, проанализирован Мюллером и Гукелем [3]. В [3] было также выяснено, что такая зависимость  $M(n)$  приводит к тому, что вольтамперная характеристика (ВАХ), характерная для лавинного пробоя, смещается на слабо выраженную  $S$ -образную. Известно, что на ее падающем участке однородное распределение тока неустойчиво и происходит шнурование лавинного тока в  $p-i-n$ -структуре [3]. Вместе с тем в проведенном качественном анализе не учитывалось падение напряжения  $\Delta V$  на квазинейтральных  $n$ - и  $p$ -областях структуры, связанное с протеканием по ним тока. Естественно, что величина  $\Delta V$  возрастает с увеличением плотности лавинного тока  $j$ , поэтому ВАХ всей  $p-i-n$ -структуре может оказаться всюду монотонно возрастающей. Благодаря исчезновению падающего участка на ВАХ рассмотренный в [3] эффект шнурования тока в таких  $p-i-n$ -структурах не реализуется.

Действительно, при однородном увеличении плотности лавинного тока  $j$  концентрации свободных носителей ( $n$  и  $p$ ) в ОПЗ возрастают и благодаря описанному выше эффекту [3] происходит перераспределение электрического поля вдоль оси  $z$ . Однако величина поля  $E_{\max}$  в рассматриваемом случае не будет увеличиваться за счет того, что падение напряжения на ОПЗ структуры  $V_i$

с ростом тока уменьшится. Последнее связано с тем, что при увеличении  $j$  растет падение напряжения  $\Delta V$  на квазинейтральных  $n$ - и  $p$ -областях структуры.

Иная ситуация реализуется при локальном увеличении лавинного тока в ОПЗ в малом слое размером  $\Delta x$  (рис. 2, а). В этом случае при достаточно большом значении толщины  $n$ - или  $p$ -области ( $W \gg \Delta x$ ) происходит сильное растекание лавинного тока в квазинейтральных областях  $p-i-n$ -структуре ( $n$ -области, рис. 2, а). Вследствие этого падение напряжения на  $n$ -области, создаваемое локальным увеличением лавинного тока (в области размером  $\Delta x$ , рис. 2, а), будет сильно уменьшено (в меру отношения  $\Delta x/W \ll 1$ ) по сравнению с рассмотренным выше случаем однородного увеличения лавинного тока. Другими словами, локальное увеличение лавинного тока вызовет очень малое изменение падения напряжения на квазинейтральных  $n$ - и  $p$ -областях  $p-i-n$ -структуре. Поэтому величина поля  $E_{\max}$  (рис. 1, г) в области размером  $\Delta x$  (рис. 2, а) резко возрастает, что приведет к дальнейшему увеличению лавинного тока, а следовательно, и концентрации свободных носителей в ОПЗ. Это в свою очередь ведет к лавинообразному росту величины  $E_{\max}$ , коэффициента умножения и плотности тока в рассматриваемой малой области  $p-i-n$ -структуре размером  $\Delta x$ . Такой эффект реализуется при однозначной ВАХ, т. е. при положительном дифференциальном сопротивлении всей структуры. Локальное нарастание лавинного тока в области размером  $\Delta x \ll W$  имеет предел, связанный с тем, что длина растекания тока в  $n$  ( $p$ )-области ограничена, точнее, составляет величину порядка  $W$ . При очень большой величине плотности локального тока падение напряжения  $V$ , на ОПЗ в области протекания тока (области размером  $\Delta x$  на рис. 2, а) заметно уменьшается (рис. 2, б).

Из этого качественного рассмотрения следует, что характерный масштаб пространственного изменения величины  $V$ , по площади  $p-i-n$ -структуре определяется величиной порядка  $W$ . Ширина  $\Delta x$  области протекания локального лавинного тока большой плотности (рис. 2, б) определяется длиной диффузионного расплывания свободных носителей за время их пролета ОПЗ  $\tau_s = w/v$ , т. е.  $\Delta x \sim l = \sqrt{D\tau_s}$ , где  $D$  — коэффициент диффузии носителей,  $v$  — скорость дрейфа носителей в ОПЗ, которая для простоты считается одинаковой для электронов и дырок.

Итак, благодаря большой длине растекания тока по квазинейтральным областям и эффекта перераспределения поля в ОПЗ структуры зарядом неравновесных носителей в однородной по площади  $p-i-n$ -структуре может существовать локальная уединенная область сильного лавинного тока — микроплазма (рис. 2, б). Микроплазму можно возбудить за счет кратковременного освещения локальной области  $p-i-n$ -структуре импульсом света, поглощение которого приводит к фотогенерации электронно-дырочных пар в ОПЗ структуры. Такая микроплазма является сильно неравновесным уединенным собственным состоянием  $p-i-n$ -структуре (рис. 2). Неоднородное состояние в виде микроплазмы существует паряду с устойчивым однородным состоянием, отвечающим однородному распределению лавинного тока. Такие уединенные неоднородные состояния в неравновесных системах называются автосолитонами (AC), их общая теория и свойства изложены в обзоре [4].

## 2. Основные уравнения и численное моделирование микроплазм

Распределение концентрации электронов и дырок в условиях ударной ионизации описывается уравнениями

$$\frac{\partial n}{\partial t} = e^{-1} \operatorname{div} j_n + \alpha_e v n + \alpha_p v p, \quad (2)$$

$$\frac{\partial p}{\partial t} = -e^{-1} \operatorname{div} j_p + \alpha_p v p + \alpha_e v n, \quad (3)$$

где  $\alpha_e$  и  $\alpha_p$  — коэффициенты ударной ионизации электронов и дырок, а

$$j_n = evn + eD_e \nabla n, \quad j_p = epv - eD_p \nabla p \quad (4)$$

— электронная и дырочная составляющие плотности полного тока  $j=ev(n+p)$ . Следуя [3], усредним уравнения (2), (3) по толщине ОПЗ  $p-i-n$ -структуры (по  $z$  от 0 до  $w$ , рис. 1, a). В результате, для простоты полагая, что  $D_n=D_p\equiv D$ ,  $\alpha_n=\alpha_p\equiv\alpha$ ,  $v=\text{const}$ , а вдоль оси  $z$  с точностью до отношения  $\tau_n/\tau_i \ll 1$  ( $\tau_n=w/v$ ,  $\tau$  — время жизни носителей в  $i$ -области) величина  $j=ev(n+p)=ev\bar{n}=\text{const}$ , получим уравнение для  $\bar{n}$  — средней концентрации носителей по толщине ОПЗ

$$\frac{\partial \bar{n}}{\partial t} = D\Delta_{\perp}\bar{n} + 2 \left[ \bar{n}v_i(\bar{n}, V_i) - \frac{\bar{n}}{\tau_n} + G_T \right]. \quad (5)$$

В уравнении (5) учтена тепловая генерация носителей в  $i$ -области, которая определяет плотность тока  $j_i=eG_Tw$  обратно смещенной  $p-i-n$ -структуре при небольших напряжениях, при которых лавинное умножение несущественно.

В уравнении (5)

$$v_i(\bar{n}, V_i) = \tau_n^{-1} \int_0^w adz \quad (6)$$

— средняя по толщине ОПЗ скорость ударной ионизации носителей, которая связана с коэффициентом умножения соотношением  $M=(1-v_i\tau_n)^{-1}$ , где  $M=j/j_i$ . Для  $v_i(\bar{n}, V_i)$  можно получить аналитическое выражение [8], если считать, что

$$\alpha(E) = \alpha_0 \exp(\lambda E). \quad (7)$$

Подставляя выражение (7) для  $\alpha(E)$  в (6), получим [3]

$$v_i(\bar{n}, V_i) = \tau_n^{-1} \left\{ \exp \left[ \frac{\lambda}{w} [V_i - \varphi(\bar{n})] \right] \right\}, \quad (8)$$

где функция

$$\varphi(\bar{n}) = \frac{w}{\lambda} \left( \lambda E_0 + \gamma^{-1} \int_0^\gamma \ln \sec \zeta d\zeta \right), \quad (9)$$

а величины  $\gamma$  и  $E_0$  определяются выражениями

$$\gamma \operatorname{tg} \gamma = \left( \frac{\lambda w}{4\varepsilon_s \varepsilon_0 v} \right) j, \quad \lambda E_0 = -\ln \left( \alpha_0 w \frac{\lambda w j}{4\varepsilon_s \varepsilon_0 v \gamma^2} \right). \quad (10)$$

Заметим, что при выводе выражений (8)–(10) [3] не учтена тепловая генерация носителей в  $i$ -области  $p-i-n$ -структуры, т. е. выражение (8) несправедливо при малых коэффициентах лавинного умножения.

Растекание тока в квазинейтральных областях  $p-i-n$ -структуры описывается уравнением непрерывности полного тока

$$C \frac{\partial V_i}{\partial t} = \operatorname{div} j, \quad (11)$$

где  $C$  — емкость единицы площади структуры. Полагая для определенности, что  $n$ -область  $p-i-n$ -структуры (рис. 2, a) наиболее «толстая» и «высокоомная», точнее,  $r_n=W_n/\sigma_n \gg r_p=W_p/\sigma_p$ , где  $\sigma_n$ ,  $\sigma_p$  и  $W_n$ ,  $W_p$  — проводимости и толщины  $n$ - и  $p$ -областей, проинтегрируем (11) по толщине  $n$ -области ( $W_n=W$ ) с учетом граничных условий  $j(0)=e\bar{n}v$ ,  $j(W)=(V-V_i)r_n^{-1}$ . В результате получим [6]

$$\tau_V \frac{\partial V_i}{\partial t} = L^2 \Delta_{\perp} V_i - r_n j + V - V_i, \quad (12)$$

где  $\tau_V=r_n C$ ,  $L \simeq W$ ;  $V$ ,  $V_i$  — соответственно полное падение напряжения на всей  $p-i-n$ -структуре и на ее  $i$ -области (рис. 2, a).

Система уравнений (5), (12) с учетом выражений (9), (10) решалась численно при параметрах, характерных для кремниевой  $p-i-n$ -структуры при  $T=300$  К,  $w=5 \cdot 10^{-4}$  см,  $W=3 \cdot 10^{-2}$  см,  $C=0.6 \cdot 10^{-7}$  Ф/см<sup>2</sup>,  $n_i=1.3 \cdot 10^{10}$  см<sup>-3</sup>,

значении плотности темнового тока  $j_s = 10^{-6} \text{ А/см}^2$ ,  $\alpha_0 = 2.8 \cdot 10^{-1} \text{ см}^{-1}$ ,  $\lambda = 1.68 \times 10^{-5} \text{ см/В}$ . При этих параметрах  $p-i-n$ -структуре при обратном смещении и однородном распределении плотности лавинного тока имеет положительное дифференциальное сопротивление при всех значениях тока (рис. 3). Начиная с плотности лавинного тока  $j = j_b = 2.4 \cdot 10^{-4} \text{ А/см}^2$ , т. е. значений коэффициентов умножения тока  $M = M_b = j_b/j_s = 240$ , в однородной структуре с помощью локальной кратковременной фотогенерации носителей в ОПЗ удавалось возбуждать автосолитон (АС) в виде микроплазмы (рис. 4). В численном эксперименте фотовоизлучение микроплазмы моделировалось добавлением в правую часть уравнения (5) слагаемого

$$\Delta G = \Delta G_0 H(x_0 - |x|) H(t - t_0), \quad (13)$$

где

$$H_i(x) = \begin{cases} 1, & \text{если } x \geq 0, \\ 0, & \text{если } x < 0. \end{cases}$$

Выражение (13) описывает локальную (в области размером  $x_0$ ) кратковременную (длительностью  $t_0$ ) генерацию носителей в ОПЗ, например, с помощью импульсного источника коротковолнового излучения. После прекращения действия локального

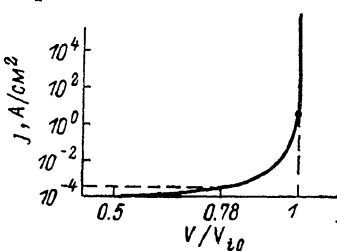


Рис. 3. Вольтамперная характеристика  $p-i-n$ -структуры.

Результаты численного решения уравнений (5), (12) для стационарного и однородного случаев.  $T = 300 \text{ К}$ ,  $w = 5 \cdot 10^{-4} \text{ см}$ ,  $W = 3 \cdot 10^{-2} \text{ см}$ ,  $j_s = 10^{-6} \text{ А/см}^2$ ,  $\tau_V = 3 \cdot 10^{-11} \text{ с}$ ,  $\tau_n = 2 \cdot 10^{-11} \text{ с}$ ,  $r_n = 3.8 \times 10^{-4} \text{ Ом} \cdot \text{см}^2$ ,  $G_T = 1.25 \cdot 10^{16} \text{ см}^{-3} \cdot \text{с}^{-1}$ ,  $C = 0.6 \cdot 10^{-7} \text{ Ф/см}^2$ . При этих параметрах значение  $V_{io} = 127 \text{ В}$ .

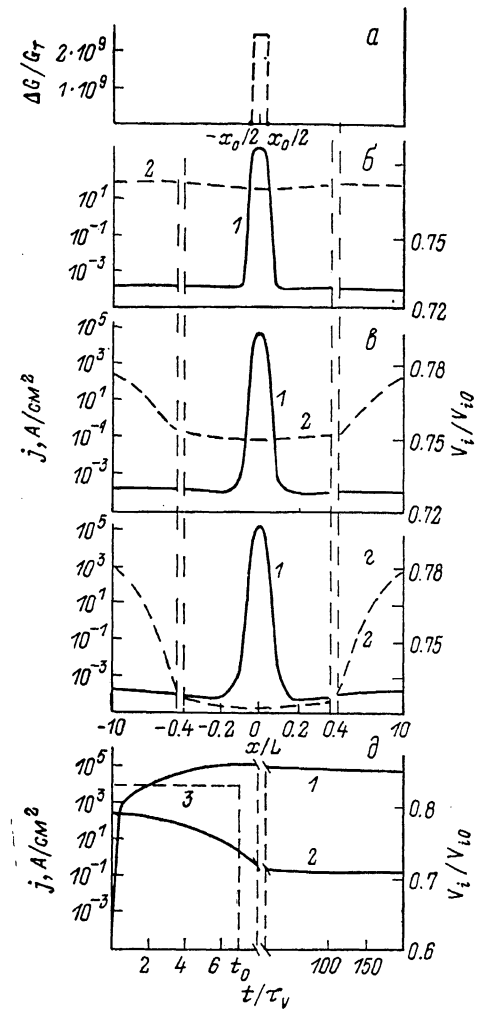


Рис. 4. Кинетика формирования микроплазмы в идеально однородной по площади  $p-i-n$ -структуре.

*а* — вид начального импульса локальной генерации носителей (13), моделирующего кратковременную локальную засветку  $p-i-n$ -структуре импульсом света; *б*, *в* — распределение плотности тока  $j(1)$  и падения напряжения  $V_i(2)$  в моменты времени  $t_1 = 2.0 \tau_V$  (*б*) и  $t_2 = 6.0 \tau_V$  (*в*); *г* — установившаяся форма микроплазмы ( $t > 100 \tau_V$ ); *д* — зависимость  $j(1)$  и  $V_i(2)$  от  $t$  в центре образующейся микроплазмы (при  $x = 0$ , *б*—*г*); *з* — импульс возбуждения  $\Delta G(t)$ . Параметры расчета (2), (5):  $T = 300 \text{ К}$ ,  $w = 5 \cdot 10^{-4} \text{ см}$ ,  $W = 3 \cdot 10^{-2} \text{ см}$ ,  $j_s = 10^{-6} \text{ А/см}^2$ ,  $\tau_V = 3 \cdot 10^{-11} \text{ с}$ ,  $\tau_n = 2 \cdot 10^{-11} \text{ с}$ ,  $r_n = 3.8 \cdot 10^{-4} \text{ Ом} \cdot \text{см}^2$ ,  $l/L = 3.22 \cdot 10^{-8}$ ,  $V_{io} = 127 \text{ В}$ ,  $V_b = 0.78 V_{io}$ ,  $C = 0.6 \cdot 10^{-7} \text{ Ф/см}^2$ .

источника генерации носителей (рис. 4, *а*) в  $p-i-n$ -структуре самопроизвольно (рис. 4, *б*—*г*) формируется микроплазма (рис. 4, *з*). Как и следовало ожидать, микроплазма представляет собой локальную область сильной генерации носителей, окруженную относительно протяженной областью, где лавинная генерация носителей подавлена по сравнению с однородным лавинным пробоем вне микроплазмы. Последнее связано с тем, что на периферии места локализации микроплазмы (области размером порядка  $W$ ) за счет падения напряжения на квазинейтральной  $n$ -области (рис. 2, *а*) понижено падение напряжения

на ОПЗ ( $i$ -области)  $p-i-n$ -структуре. В центре микроплазмы значения плотности лавинного тока  $j=j_{\max}$  и коэффициента умножения носителей  $M=M_{\max}=j_{\max}/j$ , на много порядков превосходят их значения вне микроплазмы, т. е. в области однородного пробоя (рис. 4, г). Так, при использовании в расчетах (рис. 4) выражений (7)–(10) и параметров, указанных в подписи к рис. 4, значение  $M$  в центре микроплазмы оказалось порядка  $M_{\max} \sim 10^{11}$ , в то время как однородному пробою вне микроплазмы отвечает величина  $M=M_b=j_b/j \approx 240$ .

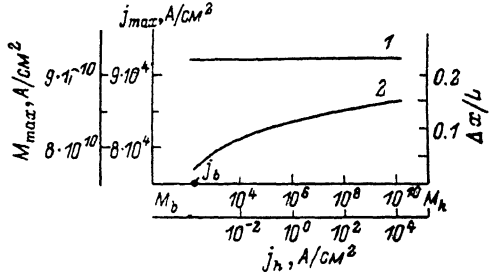
Заметим, что использованная в численных расчетах (рис. 3–5) зависимость  $\alpha(E)$  (7) несправедлива при очень больших значениях поля  $E$  [1]; более правильной считается зависимость [6]

$$\alpha(E) = \alpha_0 \exp(-\Delta/\lambda E^\beta), \quad (14)$$

где  $\Delta, \lambda, \beta = \text{const}$ ,  $1 \leq \beta \leq 2$ . Однако использование этой зависимости  $\alpha(E)$  требует для нахождения параметров микроплазмы решения более сложной задачи (5), (12), (4). Поэтому при численных расчетах зависимость  $v_i(\bar{n})$ , т. е.  $M(\bar{n})$ , вплоть до очень больших значений  $M=10^{11}$  описывалась выражениями (8)–(10), а при  $M > 10^{11}$  функция  $\varphi(\bar{n})$  в формуле (8) заменялась на  $\varphi(\bar{n}) \sim \bar{n}^2$ . Численные расчеты показали, что такой выбор функции  $v_i(\bar{n}, V_i)$ , соответствующий выполнению условия  $\alpha \rightarrow \text{const}$  при  $E \rightarrow \infty$ , практически не влияет на

Рис. 5. Зависимость ширины микроплазмы  $\Delta x$  (по уровню 0.5) (2) и максимальных значений коэффициента умножения носителей  $M=M_{\max}$  и плотности тока  $j=j_{\max}$  в центре микроплазмы (1) и значений  $j=j_b$ ,  $M=M_b$  в однородном пробое (вне микроплазмы).

Результаты численного решения уравнений (5), (12) при параметрах, указанных в подписи к рис. 4.



свойства микроплазмы. Исключением являются найденные значения  $M_{\max}$  и  $j_{\max}$  в центре микроплазмы (рис. 4), которые при более адекватном эксперименту выборе асимптотики функции  $\alpha(E)$  для больших  $E$  могут измениться на несколько порядков.

Численные исследования показали, что в соответствии с общей теорией АС [4] чем больше плотность лавинного тока  $j=j_b$  (значение  $M=M_b$ ) в однородном (по площади  $p-i-n$ -структуре) лавинном пробое, тем меньшая требуется интенсивность кратковременной локальной засветки структуры для возбуждения в ней микроплазмы. Так, в рассматриваемом примере при  $M_b=240$  величина  $\Delta G=3 \cdot 10^9 G_T$ , а при  $M_b=10^3$  значение  $\Delta G=10^8 G_T$ . Максимальные величины  $M=M_{\max}$  и  $j=j_{\max}$  в микроплазме слабо возрастают при увеличении полного тока (рис. 5, кривая 1). Однако при этом увеличивается размер  $\Delta x$  области сильной ударной ионизации в микроплазме [полуширина распределения  $j(x)$  в микроплазме (рис. 5, кривая 2)]. Численные расчеты показали также, что минимальные значения лавинного тока  $j=j_b$  и коэффициента умножения  $M=M_b$ , при которых еще можно возбудить микроплазму в однородной по площади  $p-i-n$ -структуре, тем меньше, чем меньше отношение  $l/W$ . При уменьшении величины полного тока ширина локальной области сильной ударной ионизации в микроплазме, как отмечалось, уменьшается (рис. 5, кривая 2), а при токе  $j=j_b$  ( $M=M_b$ ) микроплазма скачкообразно исчезает.

Эти результаты являются общими для  $\Lambda$ -систем, в которых реализуются узкие пичковые АС [4]. Рассматриваемая  $p-i-n$ -структура относится к  $\Lambda$ -системам, а возникающие в ней микроплазмы являются яркими примерами узких пичковых АС гигантской амплитуды. Роль активатора [4] в  $p-i-n$ -структуре играет величина  $\theta=\bar{n}$  — средняя концентрация неравновесных носителей в ОПЗ, а ингибитора —  $\eta=V_i$  — падение напряжения на  $i$ -области структуры.  $\Lambda$ -образный вид кривой локальной связи  $\eta(\theta)\equiv V_i(\bar{n})$  можно установить из уравнения (5) совместно с (9), (10). Характерные значения  $V_i=V_{i0}$  и  $\bar{n}=\bar{n}_0$ ,

отвечающие точке максимума на Л-образной кривой локальной связи, как следует из (5), определяется из решения системы уравнений

$$\bar{n}\nabla_i - \bar{n}\cdot\vec{E}^1 + G_T = 0,$$

$$\bar{n}^2 \partial \nabla_i / \partial \bar{n} = G_T.$$

Для более правильного определения величины  $M_{\max}$  в микроплазме была численно найдена зависимость  $\nu_i(\bar{n}, V_i)$  с учетом выражения (14) при характерных для Si параметрах:  $a_0 = 7.9 \cdot 10^5 \text{ см}^{-1}$ ,  $\Delta = 1.5 \cdot 10^6 \text{ В/см}$ ,  $\lambda = \beta = 1$ . При учете такой зависимости  $\nu_i(\bar{n}, V_i)$  оказалось, что  $M_{\max} \sim 10^8 - 10^9$ .

Результаты численных исследований свидетельствуют и о том, что микроплазма может возникать спонтанно при наличии в ОПЗ локальной неоднородности. При этом, естественно, чем больше амплитуда неоднородности (значение электрического поля в локальной области), тем при меньшей плотности лавинного тока происходит спонтанное образование микроплазмы. Установливающееся распределение плотности и значение коэффициента умножения носителей в микроплазме практически не зависят от параметров малой локальной неоднородности, т. е. оказываются такими же, как и в случае вынужденного возбуждения микроплазмы импульсом света в идеально однородных структурах. Другими словами, малая неоднородность выступает лишь как затравка для самоизвестного формирования микроплазмы.

#### Список литературы

- [1] Грехов И. В., Сережкин Ю. Н. Лавинный пробой  $p-n$ -перехода в полупроводниках Л., 1980. 152 с.
- [2] Конакова Р. В., Кордом П. и др. Прогнозирование надежности полупроводниковых лавинных диодов. Киев, 1986. 188 с.
- [3] Muller M. W., Guckel H. // IEEE Trans. Electron. Dev. 1968. V. ED-15. N 8. P. 560—568.
- [4] Кернер Б. С., Осипов В. В. // УФН. 1989. Т. 157. В. 2. С. 201—266.
- [5] Кернер Б. С., Литвин Д. П., Санкин В. И. // Письма ЖТФ. 1987. Т. 13. В. 13. С. 819—823.
- [6] Зи С. Физика полупроводниковых приборов. Т. 1. М., 1984. 455 с.

Институт прикладных проблем  
механики и математики АН УССР  
Львов

Научно-производственное  
объединение «Орион»  
Москва

Получена 5.09.1989  
Принята к печати 4.12.1989